


MATERIAL SUPLEMENTAR

Impactos da mudança de vegetação local no aporte de matéria orgânica para um estuário tropical preservado (estuário do rio Itapicuru – BA)

Lucas M. Guimarães^a, Tiago de Abreu C. Lima^a, Elvis Joacir De França^b, Gilberto N. de Arruda^b, José Roberto B. de Souza^c, Ana Cecília R. de Albergaria-Barbosa^{a,*} 

^aDepartamento de Oceanografia, Instituto de Geociências, Universidade Federal da Bahia, 40170-115 Salvador – BA, Brasil

^bCentro Regional de Ciências Nucleares do Nordeste, Comissão Nacional de Energia Nuclear, 50740-545 Recife – PE, Brasil

^cDepartamento de Física da Terra e Meio Ambiente, Instituto de Física, Universidade Federal da Bahia, 40170-115 Salvador – BA, Brasil

*e-mail: cecilia.albergaria@ufba.br

Tabela 1S. Concentração dos n-alcenos de *n*-C₁₅ a *n*-C₃₅ encontrados no testemunho avaliado em ng g⁻¹ (p.s.) e porcentagem de recuperação do hexadeceno (%RH) e do eicoseno (%RE) utilizados em cada amostra (<LDM = abaixo do limite de detecção do método)

	0 cm	04 cm	08 cm	12 cm	16.1 cm	16.2 cm	24 cm	28 cm	32.1 cm	32.2 cm	36 cm	40 cm	44 cm	48.1 cm	48.2 cm	52 cm	56 cm	60 cm
<i>n</i> -C ₁₅	39,3	42,8	35,0	<LDM	<LDM	57,4	16,3	<LDM	14,8	134,1	<LDM	25,1	<LDM	<LDM	64,7	<LDM	<LDM	<LDM
<i>n</i> -C ₁₆	92,6	56,2	43,4	33,5	24,7	36,0	34,0	27,1	36,1	86,1	41,5	43,9	33,2	25,0	71,2	30,9	27,3	44,6
<i>n</i> -C ₁₇	81,8	70,5	47,9	26,1	19,4	21,7	20,7	<LDM	23,3	30,2	27,0	34,0	<LDM	<LDM	25,2	<LDM	<LDM	26,0
<i>n</i> -C ₁₈	98,0	78,0	43,8	27,4	<LDM	<LDM	30,0	<LDM	26,3	<LDM	48,9	43,5	<LDM	<LDM	<LDM	33,1	<LDM	39,5
<i>n</i> -C ₁₉	82,9	65,3	66,2	42,3	54,4	57,4	42,6	<LDM	41,9	38,9	40,2	<LDM	<LDM	<LDM	<LDM	<LDM	<LDM	61,4
<i>n</i> -C ₂₀	107	59,5	38,6	42,9	32,8	33,9	46,8	33,5	38,4	36,7	57,9	39,0	<LDM	22,3	36,5	42,8	24,5	53,8
<i>n</i> -C ₂₁	130	82,7	94,4	66,2	92,2	86,4	87,5	51,9	42,5	41,4	31,5	26,1	32,8	27,1	26,9	53,4	49,6	73,7
<i>n</i> -C ₂₂	519	337	173	292	108	100	117	141	142	133	313	239	85,2	91,4	121	189	112	204
<i>n</i> -C ₂₃	143	97,8	60,6	64,1	61,9	77,2	101	60,9	67,5	55,4	56,9	45,9	32,2	46,0	52,6	91,7	142	139
<i>n</i> -C ₂₄	114	50,7	67,2	83,0	77,4	78,1	106	26,8	77,1	60,4	43,8	22,2	<LDM	34,7	56,8	96,6	166	152
<i>n</i> -C ₂₅	405	327	245	239	229	216	269	220	188	146	141	120	68,9	117	156	145	438	356
<i>n</i> -C ₂₆	174	131	86,2	71,1	75,1	72,8	95,0	86,5	57,0	38,3	48,8	<LDM	<LDM	<LDM	39,2	36,9	24,2	<LDM
<i>n</i> -C ₂₇	892	639	482	505	467	445	468	425	388	320	270	252	172	188	242	131	324	338
<i>n</i> -C ₂₈	390	275	187	195	194	181	218	212	162	121	121	78,7	38,2	66,8	99,4	43,7	29,5	<LDM
<i>n</i> -C ₂₉	1975	1379	1094	1193	1064	995	1097	986	948	818	781	737	592	525	588	222	373	406
<i>n</i> -C ₃₀	722	584	424	456	440	388	450	402	391	332	219	150	105	131	159	62,7	61,2	26,0
<i>n</i> -C ₃₁	877	714	561	527	639	500	672	626	490	364	375	195	171	149	192	377	97,8	111
<i>n</i> -C ₃₂	153	105	84	65,6	44,6	57,3	49,3	71,2	47,9	29,5	42,2	<LDM	<LDM	18,5	<LDM	<LDM	<LDM	<LDM
<i>n</i> -C ₃₃	213	149	105	94,1	117	102	129	126	73,9	57,7	41,7	24,7	<LDM	22,2	38,6	<LDM	27,4	<LDM
<i>n</i> -C ₃₄	83,4	62,6	39,7	18,1	30,7	30,4	44,2	53,1	30,3	<LDM	20,2	28,0	<LDM	30,9	18,5	<LDM	<LDM	<LDM
<i>n</i> -C ₃₅	91,2	56,5	33,4	50,2	36,8	36,2	42,3	45,0	42,8	34,4	29,7	23,2	<LDM	22,2	28,2	26,4	25,0	<LDM
%RH	103	128	121	110	110	126	113	94	135	126	101	129	99	107	145	105	111	102
%RE	106	111	122	92	96	116	91	85	115	104	90	118	112	121	123	116	116	116

Tabela 2S. Valores obtidos do limite de detecção do método (LDM, ng μL^{-1}), das amostras em duplicata (ng g^{-1} em peso seco) e da matriz fortificada com os *n*-alcanos variando de *n*-C₁₅ a *n*-C₃₅ (ng g^{-1} em peso seco) e suas respectivas taxas de recuperação (% recup., %) ou desvio padrão relativo (DPR)

	LDM	16.1(cm)	16.2(cm)	DPR.	32.1(cm)	32.2(cm)	DPR.	28(cm)	28F	%recup.
<i>n</i> -C ₁₅	14,4	11,4	11,2	1,25	14,8	134	113	< LDM	11,3	11,3
<i>n</i> -C ₁₆	9,02	33,5	24,7	21,4	36,1	86,1	57,9	2,75	10,5	77,5
<i>n</i> -C ₁₇	16,9	26,1	19,4	20,8	23,3	30,2	18,2	0,98	10,5	95,2
<i>n</i> -C ₁₈	27,2	27,4	16,7	34,3	26,3	24,4	5,30	1,67	10	83,3
<i>n</i> -C ₁₉	36,1	42,3	54,4	17,7	41,9	38,9	5,25	2,12	9,59	74,7
<i>n</i> -C ₂₀	10,5	42,9	32,8	18,9	38,4	36,7	3,20	3,41	13,6	102
<i>n</i> -C ₂₁	10,9	66,2	92,2	23,2	42,5	41,4	1,85	5,26	15,6	103
<i>n</i> -C ₂₂	8,51	292	108	65,1	142	133	4,63	14,3	21,8	75,0
<i>n</i> -C ₂₃	12,9	64,1	61,9	2,47	67,5	55,4	13,9	6,18	15,3	91,2
<i>n</i> -C ₂₄	16,8	83,0	77,4	4,94	77,1	60,4	17,2	2,72	14,9	122
<i>n</i> -C ₂₅	34,7	239	229	3,02	188	146	17,8	22,3	25,8	35,0
<i>n</i> -C ₂₆	15,2	71,1	75,1	3,87	57	38,3	27,8	8,78	15,5	67,2
<i>n</i> -C ₂₇	18,2	505	467	5,53	388	320	13,6	43,1	42,9	2,00
<i>n</i> -C ₂₈	20,5	195	194	0,36	162	121	20,5	21,5	25,8	43,0
<i>n</i> -C ₂₉	21,1	1193	1064	8,08	948	818	10,4	100	90,7	93,0
<i>n</i> -C ₃₀	17,8	456	440	2,53	391	332	11,5	40,9	42,5	16,0
<i>n</i> -C ₃₁	19	527	639	13,6	490	364	20,9	63,6	50,7	129
<i>n</i> -C ₃₂	17,9	65,6	44,6	26,9	47,9	29,5	33,6	7,23	14,1	68,7
<i>n</i> -C ₃₃	16	94,1	117	15,3	73,9	57,7	17,4	12,8	17,9	50,0
<i>n</i> -C ₃₄	14,2	18,1	30,7	36,5	30,3	7,46	85,5	5,39	11,6	62,1
<i>n</i> -C ₃₅	6,89	50,2	36,8	21,8	42,8	34,4	15,4	4,57	11,2	66,3